

Huvudkontor/Head Office:  
Box 36  
S-751 23 Uppsala  
Tel: +46(0) 18 17 50 00  
Fax: +46(0) 18 17 50 10  
E-post: sgu@sgu.se  
URL: http://www.sgu.se

© Sveriges geologiska undersökning (SGU), 2020

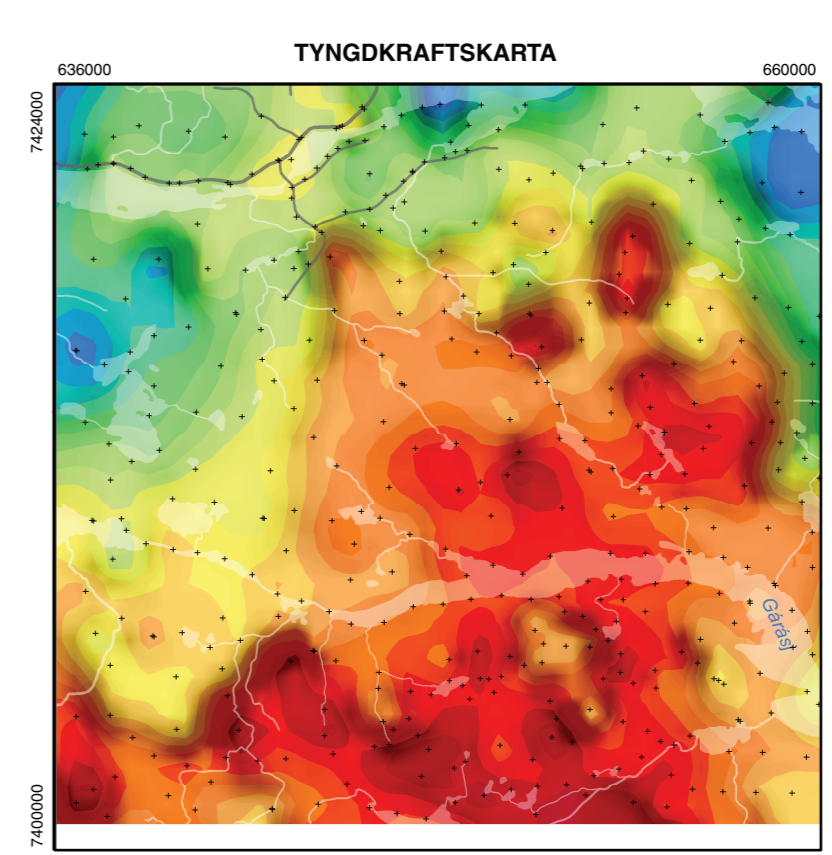
Typosgrafiskt underlag: Ulf Vågmarker, CL-artisteriet.  
Kartans ritning (svart) anger koordinater i SWEREF 99 TM.  
Översättning (grön) anger felaktigheter i SWEREF 99  
och överensstämmelse inom en meter med WGS 84.  
Guldmark har avseende på avgränsning. Lantmäteriet 1998-10-30

Magnetska beräkningar från SGU för varje form av måttgårdar eller återgivning av denna kart.  
Dessa innehåller inte bara kopiering utan även digitalisering eller beaktning till annat medium.

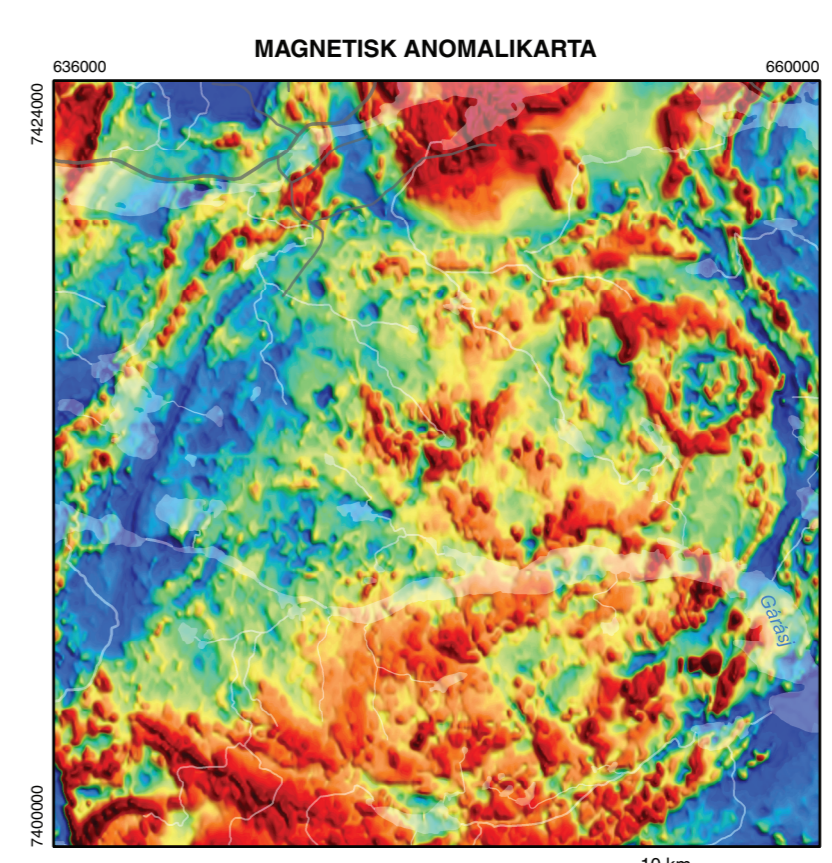
Skala 1:50 000

- Observerad håll  
Observed outcrop
- Skärping på järnmineralisering  
Iron mineralization
- Skärping på sulfidmalm, sulfidmineralisering  
Sulfide ore prospect or mineralization
- Sulfidmineralisering, block  
Sulfide mineralization, block
- Wp Mineralisering på annan metalloxid, W och Mo  
Other metal oxide mineralization, W and Mo
- Kärnboring  
Core drilling
- 1523v6  
Provpunkt för radiometrisk åldersbestämning (U-Pb-zirkondatering), i miljoner år (magnetisk ålder)  
Sample site for radiometric age determination (U-Pb-zircon dating), in million years (magnetic age)
- Provpunkt för litogeochemisk analys  
Sample location for lithochemical analysis
- × Mätpunkt för bestämning av radiumindex (rak text) och aktivitetsindex (kursiv text)  
Location of radium index (plain text) and activity index (italic text) determination
- A B Profil  
Cross-section
- Litologisk kontakt  
Lithological contact
- Formering för magnetisk bandning  
Form line for magnetic banding
- Formering för tektonisk foliation  
Form line for tectonic foliation
- Deformationszon  
Deformation zone
- Spröd deformationszon (förkastning, spricka, sprickzon)  
Brittle deformation zone (fault, fracture, fracture zone)
- Spröd till plastisk deformationszon  
Brittle to ductile deformation zone
- Plastisk skjuvzon  
Ductile shear zone
- Lagrad  
Bedded
- Magnetisk lagring  
Magnetic layering
- Lagring, gradtal för stupning  
Bedding, dip in degrees
- Foliation, gradtal för stupning  
Foliation, dip in degrees
- Foliation, vertikal stupning  
Foliation, dip vertical
- Flödesstruktur (magnetisk foliation), gradtal för stupning  
Flow structure, dip in degrees
- Metamorfer eller tektonisk bandning, gradtal för stupning  
Metamorphic or tectonic banding, dip in degrees
- Plastisk skjuvzon, gradtal för stupning  
Ductile shear zone, dip in degrees
- Plastisk skjuvzon, högervänd (destruktiv) horisontell rörelsekomponent, gradtal för stupning  
Ductile shear zone, right-lateral (destructive) horizontal component of movement, dip in degrees
- Stängighet, gradtal för stupning  
Lithological dip in degrees
- Veckad, gradtal för stupning  
Fold axis, plunge in degrees
- Hydrotermal omvandlad  
Hydrothermally altered
- Vulkaniskt  
Volcanic rock
- Subvulkanisk intrusion  
Subvolcanic intrusion
- Ådrad (metastax)  
Veined (metastax)
- Kärlig upplagring (diakrit)  
Advanced melting (diakrit)
- Sveck  
S-fold
- Z-veck  
Z-fold
- P  
Pegmatit  
Pegmatite
- U  
Ultramafiskt bergart  
Ultramafic rock
- Kvarts som sprödfylnad och gångar  
Quartz as vein and dykes
- And Ga Andalusit (And), epidot (Ep), granat (Gr), sillimanit (Sil)  
Andalusite, epidote, garnet, sillimanite
- F Mu Ws Fluapatit (F), kalkalkat (Ka), muskovit (Mu), pyroxen (Px), wollastonit (Wo)  
Fluorite, calc-alkalate, muscovite, pyroxene, wollastonite
- Hs Mg Hemattit (Hs), kopparkis (Ks), molybdängens (MoS), magnetit (Mt)  
Hematite, chalcopyrite, molybdenite, magnetite
- Py SsM Pyrit (svavelkis, Py), scheelit (Sch), sulfidmineral (SuM)  
Pyrite, cerussite, sulphide mineral
- Mafisk magnetisk enklav  
Mafic magnetic enclave
- Gång, <50 m bred, sur till intermediär plutonisk bergart  
Dyke, <50 m wide, acid to intermediate volcanic rock
- Gång, <50 m bred, basisk bergart  
Dyke, <50 m wide, basic rock
- Gång, <50 m bred, metamorf bergart  
Dyke, <50 m wide, metamorphic rock
- Lager, sur till intermediär vulkanit  
Layer, acid to intermediate volcanic rock
- Lager, basisk vulkanit  
Layer, basic volcanic rock
- Inneslutning, basisk plutonisk bergart  
Fragment, basic volcanic rock
- Inneslutning, basisk vulkanit  
Fragment, basic volcanic rock
- Inneslutning, sur till intermediär plutonisk bergart  
Fragment, acid to intermediate volcanic rock
- Inneslutning, sur till intermediär vulkanit  
Fragment, acid to intermediate volcanic rock
- Inneslutning, sedimentär bergart  
Fragment, sedimentary rock
- Inneslutning, karnig, basisk vulkanit  
Fragment, angular, basic volcanic rock
- Inneslutning, karnig, metamorf bergart  
Fragment, angular, metamorphic rock
- Inneslutning, rund, basisk vulkanit  
Fragment, rounded, basic volcanic rock
- Inneslutning, rund, sur till intermediär plutonisk bergart  
Fragment, rounded, acid to intermediate volcanic rock
- Inneslutning, rund, sur till intermediär vulkanit  
Fragment, rounded, acid to intermediate volcanic rock
- Inneslutning, rund, sedimentär bergart  
Fragment, rounded, sedimentary rock
- Xenolit, basisk vulkanit  
Xenolith, basic volcanic rock
- Xenolit, sur till intermediär vulkanit  
Xenolith, acid to intermediate volcanic rock
- Xenolit, sedimentär bergart  
Xenolith, sedimentary rock
- Xenolit, delvis resorberad, karnig, basisk vulkanit  
Xenolith, partly resorbed, angular, acid to intermediate volcanic rock
- Xenolit, delvis resorberad, karnig, sur till intermediär vulkanit  
Xenolith, partly resorbed, angular, acid to intermediate volcanic rock

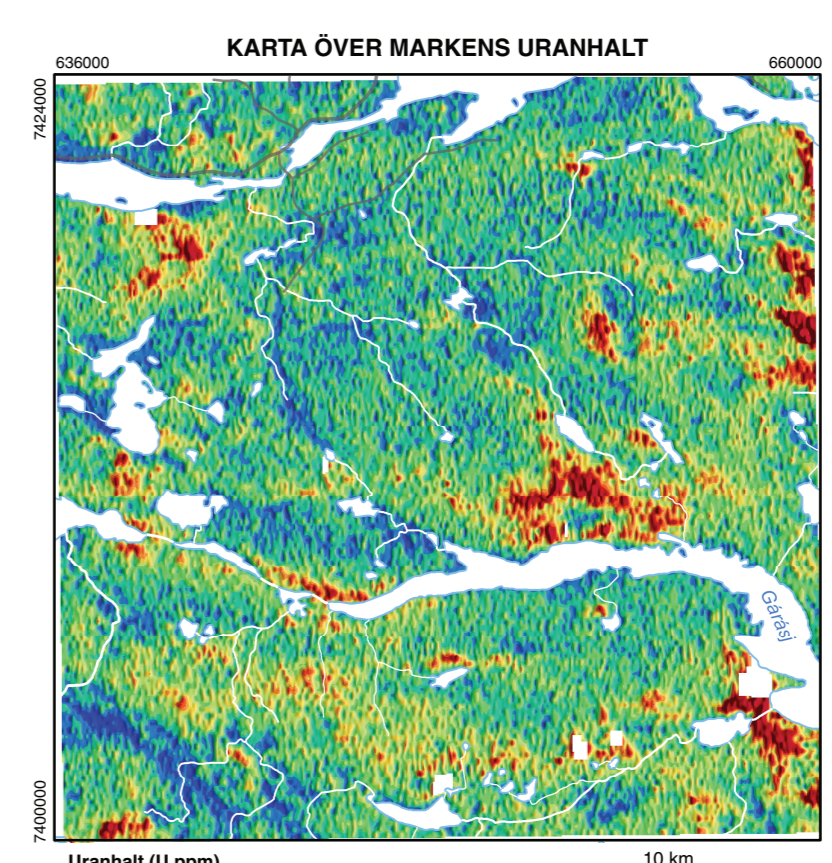
**Karteringsmetod och kartans noggrannhet**  
Berggrundskartan ger en generaliserad bild av bergarternas utbredning och struktur. Observationer av bergarter, bergartsstrukturer, omvandlingsgrad och bergarternas åldersrelationer görs på hållar. Där berggrunden är tillräckligt lös av lösa avgränsningar görs dess sammansättning från närliggande hållobservationer och geologiska mätningar. Samt föreliggande fall från bormätningar och gravningar. De geologiska mätningarna erhålls från flygmätningar av det magnetiska och det elektromagnetiska fältet och av den naturliga radioaktiva strålningen (uran, torium och kalium) samt från kompletterande markmätningar av dessa och av yngstaklasser. Berggrundskartan är för ändamål för att användas i den aktuella kartskalan redovisas som linje- eller punktobjekt. Bergarternas och strukturerens utbredning på djup redovisas i profiler. Lägesnoggrannheten för observerade företeelser är normalt fall bättre än 50 meter. För riktade företeelser, t.ex. bergartslinjer, kan den vara betydligt sämre beroende på observerbarheten och litologiska kontaster mellan olika bergarter. Information som tas fram vid kartläggningen lagras i SGUs databaser. Dessa innehåller en stor mängd information som inte visas på den tryckta kartan, t.ex. detaljerade uppgifter om mineralförekomster, bergarters mineralinnehåll och kemiska sammansättning samt petrofysiska egenskaper och naturliga radioaktiva strålning. Den digitala lagrade informationen kan erhållas genom SGUs kundtjänst.



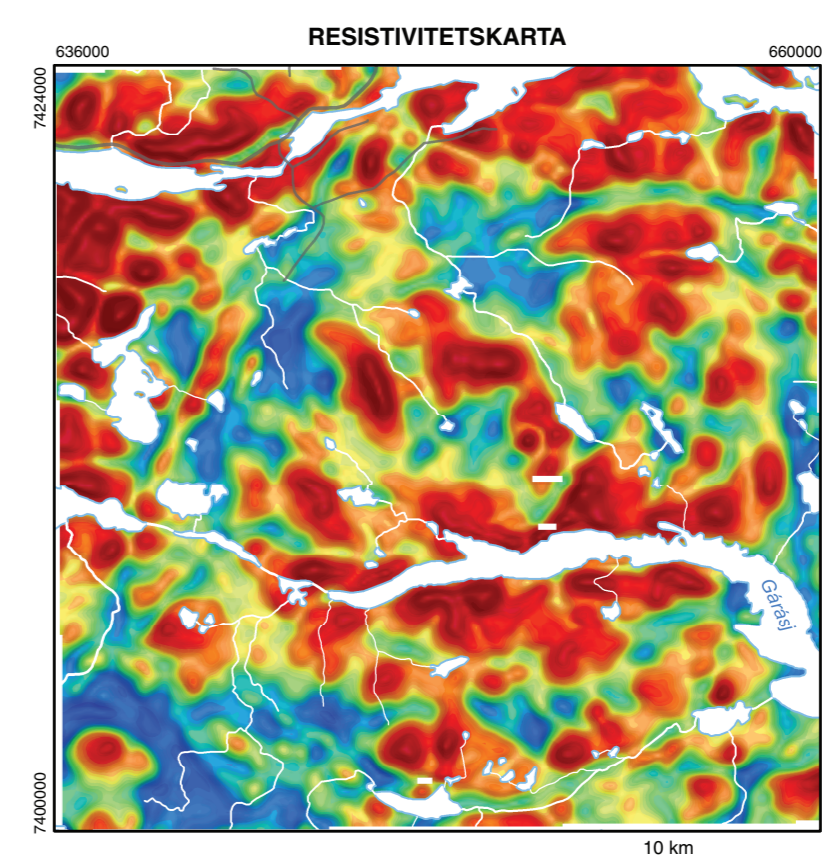
Tyngdkraftens residuallast över 271 Tjåmotis SV (skala 1: 250 000). Kartan visar variationer i tyngdkraftsfältet och baseras på mätningar med ett måtpunktsavstånd mellan 0,2-5 km.



Magnetisk anomalkarta över 271 Tjåmotis SV (skala 1: 250 000). Magnetiska data är reducerade till epok 1965.0. Kartan visar totalfältets avvikelser från DGRF 1965.0. Den baseras på flygurna mätningar utförda på 60 meters flyghöjd med ett injeerststånd på 200 m och en öst-västlig flygriktning.



Karta över markens uranhalt över 271 Tjåmotis SV (skala 1: 250 000). Kartan visar den beräknade fördelningen av uran i markens ytskikt. Halten uran är uttryckt i ppm ekvivalent uranhalt, vilket innebär att den är beräknad under antagande av radioaktiv jämvikt. Kartan baseras på flygurna mätningar på 60 meters flyghöjd med ett injeerststånd på 200 m och en öst-västlig flygriktning.



Resistivetskartan över 271 Tjåmotis SV (skala 1: 250 000). Kartan är framtagen från VLF-mätningar från två sändare där blå färg indikerar låg resistivitet. VLF-kartan baseras på flygurna mätningar utförda på 60 meters flyghöjd med ett injeerststånd på 200 m och en öst-västlig flygriktning.

SGU serie K 673

# Berggrundskartan

## 271 Tjåmotis SV

Bedrock map

Skala 1:50 000

SGU Sveriges geologiska undersökning

2020

En beskrivning till kartan kan beställas från SGUs kundtjänst eller hämtas på SGUs webbplats www.sgu.se.

ISBN 978-91-7402-480-4  
Den geologiska undersökningen är skapad av 271 Tjåmotis SV och 500 000 av den 2010-2014 av Dina Claesson med hjälp av veta geologerna Katarina Karlsson (2010), Erik Björnkvist (2010), Charlotte Brandt (2011, 2012) och Lena Claesson (2012). De geologiska ingångarna är från Erik Brandt.

Kartan är sammanställd av Dina Claesson och Mikael Ardal Lundin 2016. Kartan har utformats av Peter Collman.  
Referens till kartan: Claesson, D. & Ardal Lundin, L. 2020. Berggrundskartan 271 Tjåmotis SV (skala 1:50 000). Sveriges geologiska undersökning K:673.

Reference to the map: Claesson, D. & Ardal Lundin, L. 2020. Bedrock map 271 Tjåmotis SV (scale 1:50 000). Sveriges geologiska undersökning K:673.